

# Лабораторная работа №3.2.5

## «Свободные и вынужденные колебания в электрическом контуре»

Балдин Виктор

19 ноября 2024 г.

### 1 Введение

*Свободные колебания* – колебания, происходящие за счёт энергии заранее запасённой в системе (в процессе колебаний энергия в систему не попадает). Обозначим как  $\gamma = \frac{R}{2L}$  – коэффициент затухания, тогда возникает классификация «режимов» колебаний в контуре:

1. Затухающие ( $0 < \gamma < \omega_0$ ).
2. Критический режим ( $\gamma = \omega_0$ ).
3. Аперiodический режим ( $\gamma > \omega_0$ ).

*Критическое сопротивление* – сопротивление цепи, при котором происходит переход на аперiodический режим. *Вынужденные колебания* – колебания, происходящие за счёт действия периодической внешней силы. В данной работе мы будем изучать различные свойства и параметры как свободных, так и вынужденных колебаний в RLC контуре.

#### Цели работы:

1. Изучение свободных колебаний в RLC контуре:
  - Сравнить зависимость периода колебаний цепи от ёмкости с теоретической.
  - Определение зависимости логарифмического декремента затухания от сопротивления цепи.
  - Определение критического сопротивления контура.
2. Изучение вынужденных колебаний в RLC контуре:
  - Построение резонансных кривых колебательного контура: АЧХ и ФЧХ.
  - Определение декремента затухания колебательного контура по нарастанию колебаний и по их затуханию.
  - Проанализировать картину биений.
3. Определение добротности контура различными способами.

## 2 Теоретическая часть

Для RLC контура (рис. 1) применим 2 правило Кирхгофа:

$$RI + U_C + L \frac{dI}{dt} = 0. \quad (1)$$

Подставив в уравнение (1) выражение для тока через 1-ое правило Кирхгофа, и разделив обе части уравнения на  $CL$ , получим:

$$\frac{d^2 U_C}{dt^2} + \frac{R}{L} \frac{dU_C}{dt} + \frac{U_C}{CL}. \quad (2)$$

Произведём замены  $\gamma = \frac{R}{2L}$  – коэффициент затухания,  $\omega_0^2 = \frac{1}{LC}$  – собственная круговая частота,  $T_0 = \frac{2\pi}{\omega_0} = 2\pi\sqrt{LC}$  – период собственных колебаний. Тогда уравнение (2) примет вид:

$$\ddot{U}_C + 2\gamma\dot{U}_C + \omega_0^2 U_C = 0, \quad (3)$$

где точкой обозначено дифференцирование по времени. Будем искать решение данного дифференциального уравнения в классе функций следующего вида:

$$U_C(t) = U(t)e^{-\gamma t}.$$

Получим:

$$\ddot{U} + \omega_1^2 U = 0, \quad (4)$$

где

$$\omega_1^2 = \omega_0^2 - \gamma^2 \quad (5)$$

Для случая  $\gamma < \omega_0$  в силу того, что  $\omega_1 > 0$ , получим:

$$U_C(t) = U_0 \cdot e^{-\gamma t} \cos(\omega_1 t + \varphi_0). \quad (6)$$

Для получения фазовой траектории представим формулу (6) в другом виде:

$$U_C(t) = e^{-\gamma t} (a \cos \omega_1 t + b \sin \omega_1 t), \quad (7)$$

где  $a$  и  $b$  получаются по формулам:

$$a = U_0 \cos \varphi_0, \quad b = -U_0 \sin \varphi_0.$$

В более удобном виде запишем выражения для напряжения на конденсаторе и токе через катушку:

$$U_C(t) = U_{C0} \cdot e^{-\gamma t} (\cos \omega_1 t + \frac{\gamma}{\omega_1} \sin \omega_1 t), \quad (8)$$

$$I(t) = C\dot{U}_C = -\frac{U_{C0}}{\rho} \frac{\omega_0}{\omega_1} e^{-\gamma t} \sin \omega_1 t. \quad (9)$$

Введём некоторые характеристики колебательного движения:

$$\tau = \frac{1}{\gamma} = \frac{2L}{R}, \quad (10)$$

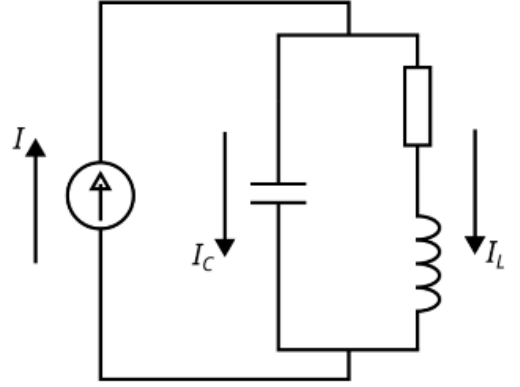


Рис. 1: Описываемый RLC контур

где  $\tau$  – время затухания (время, за которое амплитуда колебаний уменьшается в  $e$  раз).

$$\Theta = \ln \frac{U_k}{U_{k+1}} = \gamma T_1 = \frac{1}{N_\tau} = \frac{1}{n} \ln \frac{U_k}{U_{k+n}}, \quad (11)$$

где  $\Theta$  – логарифмический декремент затухания,  $U_k$  и  $U_{k+1}$  – два последовательных максимальных отклонения величины в одну сторону,  $N_\tau$  – число полных колебаний за время затухания  $\tau$ .

Теперь рассмотрим случай *вынужденных колебаний* под действием внешней внешнего синусоидального источника. Для этого воспользуемся методом *комплексных амплитуд* для схемы на рисунке (рис. 1):

$$\ddot{I} + 2\gamma\dot{I} + \omega^2 I = -\varepsilon \frac{\Omega}{L} e^{i\Omega t}. \quad (12)$$

Решая данное дифференциальное уравнение получим решение:

$$I = B \cdot e^{-\gamma t} \sin(\omega t - \Theta) + \frac{\varepsilon_0 \Omega}{L \phi_0} \sin(\Omega t - \varphi). \quad (13)$$

Нетрудно видеть, что частота резонанса будет определяться формулой:

$$\omega_0 = \frac{1}{2\pi\sqrt{LC}}. \quad (14)$$

Способы измерения **добротности**:

1. с помощью потери амплитуды свободных колебаний:

$$Q = \frac{1}{n} \ln \frac{U_k}{U_{k+n}}, \quad (15)$$

2. с помощью амплитуды резонанса можно получить добротность (в координатах  $U_C/U_0$ , где  $U_0$  – амплитуда колебаний напряжения источника, от частоты генератора). Отсюда нетрудно определить декремент затухания  $\gamma = \frac{\omega_0}{2Q}$ ,

3. с помощью среза АЧХ на уровне 0.7 от максимальной амплитуды, тогда «дисперсия» ( $\Delta\Omega$ ) будет численно равна коэффициенту  $\gamma$ , то есть  $Q = \frac{\nu_0}{2\Delta\Omega}$ .

4. с помощью нарастания амплитуд в вынужденных колебаниях:

$$Q = \frac{\omega_0 n}{2 \ln \frac{U_0 - U_k}{U_0 - U_{k+n}}}. \quad (16)$$

### 3 Экспериментальная установка

Схема установки для изучения собственных колебаний представлена на рисунке (2), по ходу работы она будет претерпевать некоторые изменения, связанные со съёмом сигнала с различных её частей, что на принцип работы не повлияет, основным же изменением будет смена работы генератора сигналов, соответствующий режим будет описан в практической части, при переходе на него. Пунктиром показана схема подключения при снятии данных о колебаниях в фазовой плоскости, на рисунке (3) изображена схема установки для исследования АЧХ, ФЧХ и наблюдения биений.

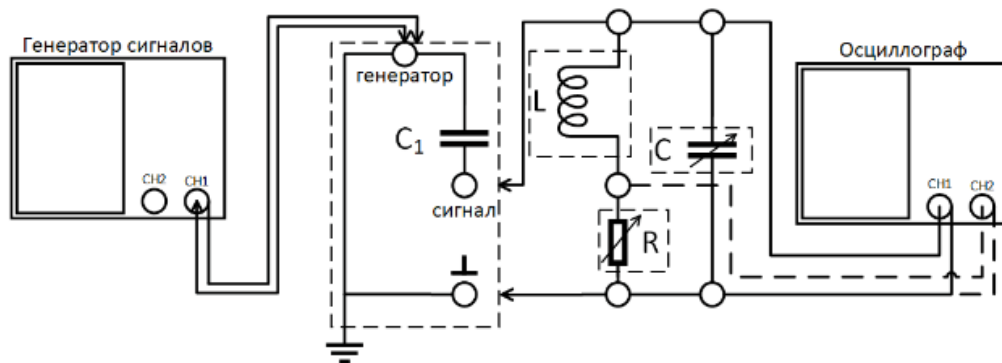


Рис. 2: Схема установки для изучения собственных колебаний

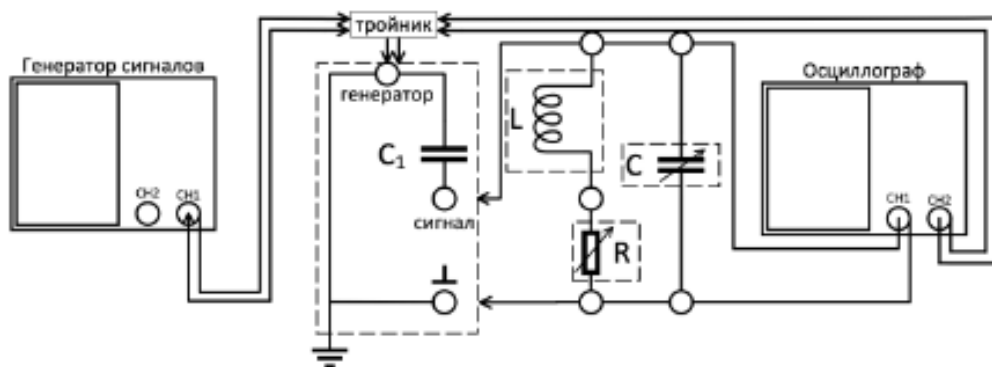
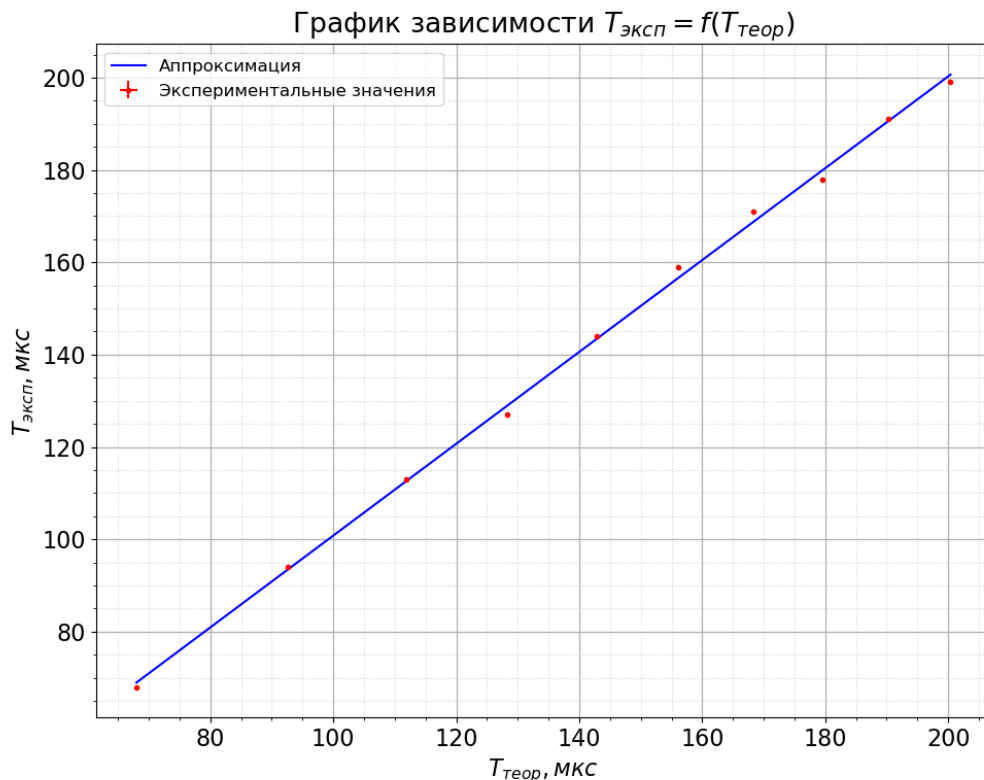


Рис. 3: Схема установки для изучения вынужденных колебаний и биений

Красным прямоугольником выделен колебательный контур, «состояния» элементов так же будут описаны в практической части. Конденсатор ( $C_1$ ) между генератором сигналов и колебательным контуром служит для того, чтобы импеданс генератора был много меньше импеданса колебательного контура и не влиял на процессы, происходящие в контуре.

## 4 Практическая часть

Соберём установку с рисунка 2, выставим  $L = 100$  мГн,  $R = 0$  Ом,  $C = 0$  мкФ, однако контур сам по себе обладает некоторым  $C_0$ , благодаря которому свободные колебания могут быть реализованы, а их затухание будет обеспечено активным сопротивлением катушки индуктивности. Переведём генератор сигналов в режим «Pulse», установим частоту 100 Гц, максимальную амплитуду (20 В), длительность импульсов 10 мкс. Благодаря таким настройкам генератор будет лишь периодически возбуждать колебания в контуре, оставляя их свободными. Будем измерять зависимость периода собственных колебаний от ёмкости конденсатора, период определим с помощью курсоров осциллографа, устанавливая их на «бугры» (данные см. в приложении п. 1). Построим в координатах  $T(\sqrt{C})$  полученную зависимость и отложим там же теоретически рассчитанное значение:



Как видим, прямая практических измерений лежит выше теоретической, это связано в первую очередь с неидеальностью контура, из-за этого период возрастает, так же с тем, что реальная ёмкость цепи несколько больше, чем ёмкость конденсатора.

$R_{\text{вн}}, \text{Ом}$	$R = R_{\text{вн}} + R_L, \text{Ом}$	$\theta = \ln \frac{U_k}{U_{k+1}}$	$Q = \frac{\pi}{\theta}$	$\sigma_Q$
408.0	443.0	0.38	8.25	0.65
653.2	688.2	0.54	5.81	0.32
898.2	933.2	0.73	4.30	0.18
1143	1178	0.92	3.42	0.11
1633	1668	1.27	2.46	0.06

Таблица 1: Декремент затухания свободных колебаний

Снимем зависимость амплитуды от количества колебаний при разных сопротивлениях контура (данные см. в приложении п. 2). По каждому измерению рассчитаем логарифми-

ческий декремент затухания:

$$\Theta = \frac{1}{n} \cdot \ln\left(\frac{U_m}{U_{m+n}}\right). \quad (17)$$

Построим график зависимости  $1/\Theta^2$  от  $1/R_\Sigma^2$ , где  $R_\Sigma$  – суммарное активное сопротивление контура (сопротивление индуктивности измерена в последнем пункте с помощью LCR-измерителя). Получим:

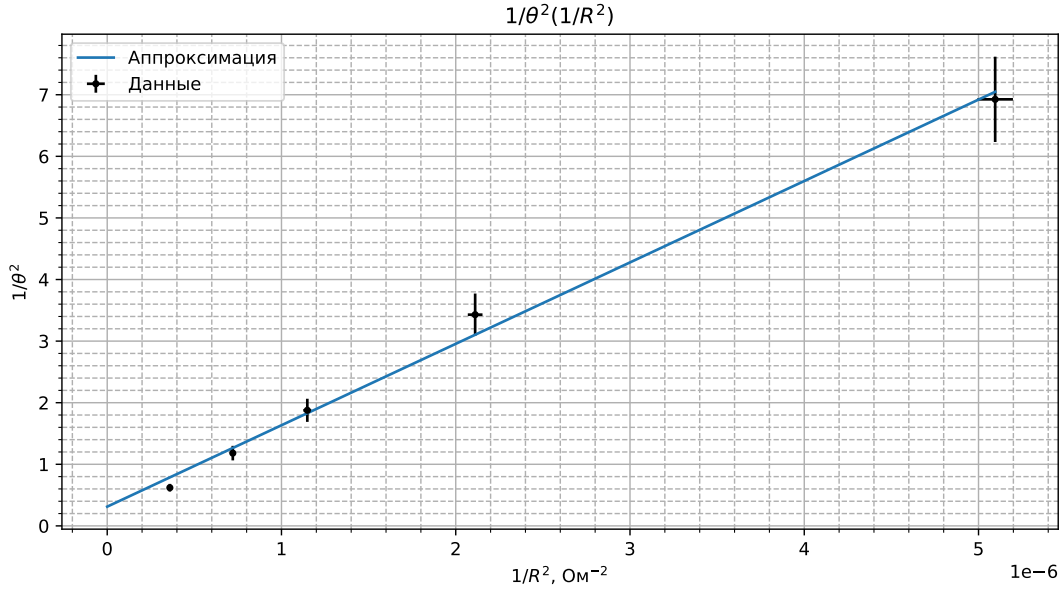


Рис. 4: График зависимости логарифмического коэффициента затухания от сопротивления цепи в линеализирующих координатах

По углу наклона рассчитаем  $R_{кр}$ :  $R_{кр} = 2\pi\sqrt{k} = 8.00 \pm 0.02$  кОм. Из теории получим:  $R_{кр} = \sqrt{L/C} = 8.16 \pm 0.07$  кОм.

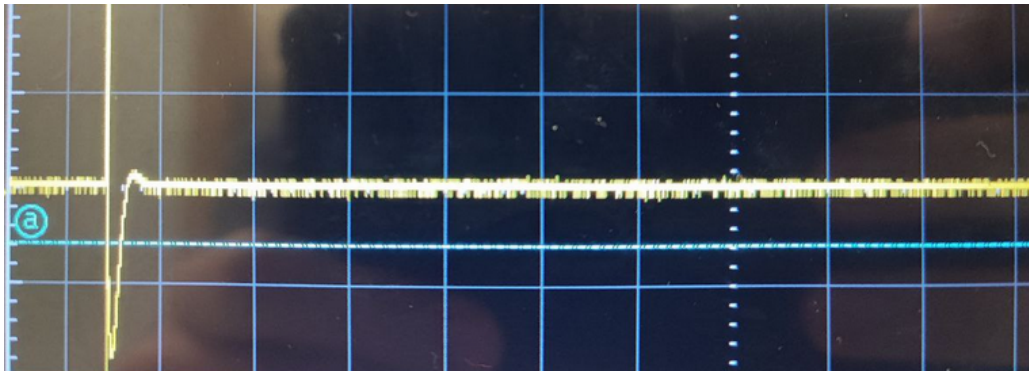


Рис. 5: Форма сигнала колебаний, которые считаем аperiodическими

Так же на этом снимке прекрасно видна причина неточного установления начала отсчёта амплитуды. Снимем спирали на фазовой плоскости, по каждой спирали получим данные о падении амплитуд и так же, как мы делали для предыдущего пункта, рассчитаем декременты затухания и через них получим добротность по формуле:

$$Q = \pi/\Theta. \quad (18)$$

Переведём источник сигнала в синусоидальный режим, соберём схему в соответствии с рис. 2. Будем снимать зависимость амплитуды колебаний и разности фаз между генератором и колебаниями в системе от частоты генератора вблизи резонанса (6 кГц).

$R_{\Sigma}$ , Ом	$Q_{\text{синус}}$	$Q_{\text{фазовая}}$	$Q_{\text{теоретическая}}$
$169.1 \pm 1.0$	$18.7 \pm 1.1$	$18.0 \pm 0.9$	$24.14 \pm 0.25$
$309.1 \pm 1.0$	$10.8 \pm 0.6$	$10.7 \pm 0.3$	$13.2 \pm 0.12$
$449.1 \pm 1.0$	$7.9 \pm 0.4$	$7.9 \pm 0.4$	$9.09 \pm 0.08$
$519.1 \pm 1.0$	$6.8 \pm 0.3$	$7.0 \pm 0.3$	$7.86 \pm 0.07$
$589.1 \pm 1.0$	$6.8 \pm 0.7$	$5.8 \pm 0.3$	$6.93 \pm 0.06$
$729.1 \pm 1.0$	$5.0 \pm 0.3$	$4.9 \pm 0.3$	$5.6 \pm 0.05$
$379.1 \pm 1.0$	$9.3 \pm 0.6$	$9.2 \pm 0.5$	$10.77 \pm 0.09$
$659.1 \pm 1.0$	$5.6 \pm 0.5$	$5.4 \pm 0.3$	$6.19 \pm 0.05$

$\nu$ , Гц	$U$ , В	$\Delta t$ , мкс	$\Delta \phi$ , $\cdot \pi$
5700	37	72.4	0.83
5800	42.5	69.2	0.80
5900	49.0	67.2	0.79
6000	57.0	62.8	0.75
6100	68.0	58.8	0.72
6200	79.0	53.2	0.66
6300	90.0	47.6	0.60
6400	99.0	40.8	0.52
6500	102.0	34.4	0.45
6600	98.0	27.2	0.36
6700	90.5	22.0	0.29
6800	82.5	17.2	0.24
6900	74.0	14.8	0.20
7000	66.5	12.0	0.17
7100	59.5	10.4	0.15
7200	54.0	8.8	0.13
7300	49.5	8.0	0.12
7400	46.5	6.4	0.095
7500	43.0	6.0	0.09
7600	40.0	4.4	0.07

$\nu$ , Гц	$U_{\text{max}}$ , В	$\Delta t$ , мкс	$\Delta \phi$ , $\cdot \pi$
5600	22.0	50.0	0.56
6000	27.6	40.0	0.48
6200	29.6	35.6	0.44
6400	30.8	31.2	0.40
6600	31.6	26.8	0.35
6800	31.6	22.8	0.31
7000	31.2	19.6	0.27
7200	30.4	16.8	0.24
7400	29.6	14.0	0.21
7600	29.5	12.0	0.18
8000	26.4	8.4	0.13

Таблица 2: АЧХ и ФЧХ для  $R_1 = 443$  Ом и  $R_2 = 1668$  Ом

Построим АЧХ в нормированных на резонанс координатах  $U/U_0$  от  $\nu/\nu_0$ . Будем аппроксимировать данные точки функцией:

$$y = \frac{A}{\sqrt{B + (Cx - \frac{D}{x})^2}}$$

С помощью ширины среза на уровне  $1/\sqrt{2}$  получим добротность по формуле:

$$Q = \frac{\nu_0}{2\Delta\Omega} \quad (19)$$

Ширина резонансной кривой, измеренная на уровне  $\frac{A}{\sqrt{2}}$  при сопротивлении магазина 443 Ом равна:  $\Delta\Omega_{140} = 0,055 \pm 0,005$ . Ширина резонансной кривой, измеренная на уровне  $\frac{A}{\sqrt{2}}$  при сопротивлении магазина 1668 Ом равна:  $\Delta\Omega_{280} = 0,092 \pm 0,005$ . Добротность, рассчитанная с помощью АЧХ, при сопротивлении магазина 140 Ом равна:  $\Omega_{140} = 8.33 \pm 0.69$ . Добротность, рассчитанная с помощью АЧХ, при сопротивлении магазина 280 Ом равна:  $\Omega_{280} = 2.33 \pm 0.16$ .

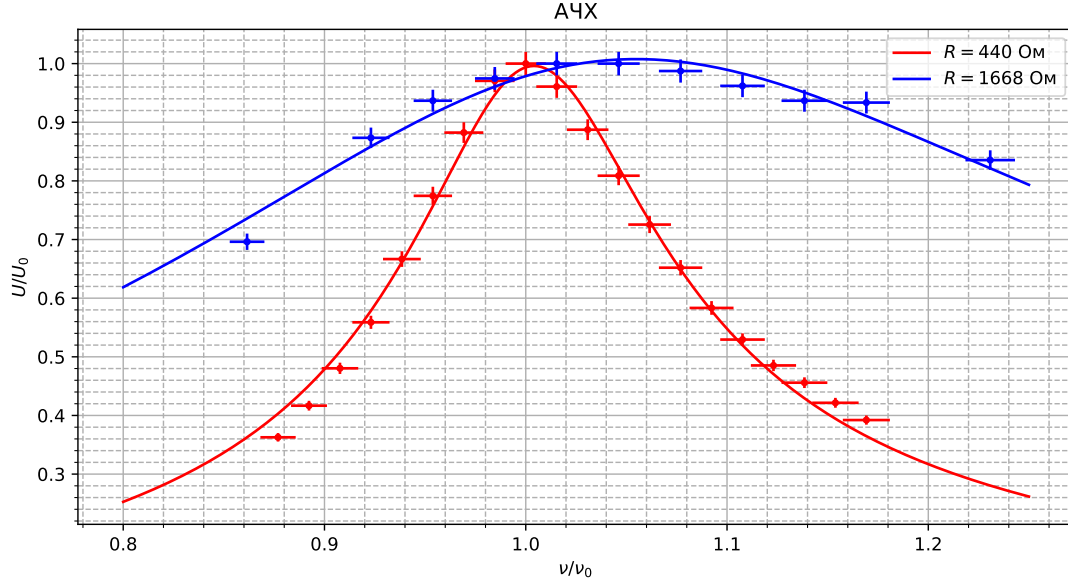


Рис. 6: Амплитудно-частотная характеристика системы при  $R = 440$  Ом – красная кривая, при  $R = 1668$  Ом – синяя кривая

Построим ФЧХ, для этого пересчитаем  $\Delta X$  в разность фаз, для этого воспользуемся формулой:

$$\Delta\varphi = \frac{1}{\sqrt{LC}}\Delta X. \quad (20)$$

Нормируем его по  $\pi$ , так же измерения при 240 Ом необходимо совместить по фазе (измерялось  $\Delta X$  не между ближайшими горбами). Аппроксимировать точки будем с помощью функции:

$$y = \frac{\arctan(-a \cdot (x - s))}{\pi} + r.$$

Получим график:

Как видим, по синим точкам не удалось получить искомый вид зависимости, это связано с тем, что нам не хватило области измерений, чтобы заставить характерные изгибы нашей функции, так что аппроксимировать к этим точкам смысла нет, уберём их из рассмотрения. Чтобы определить добротность, проведём 2 пунктирные линии на уровнях 0,75 и 0,25. Из нетрудных теоретических соображений можно понять, что через разницу абсцисс этих точек можно определить добротность системы по формуле:

$$Q = \frac{\nu_0}{\Delta\nu}. \quad (21)$$

## 5 Погрешности измерений

В ходе вычислений погрешностей в основном использовалась классическая модель погрешности:

$$\sigma = \sqrt{(\sigma_{\text{случ}})^2 + (\sigma_{\text{систем}})^2}.$$

Для обычных математических операций использовалась модель о сумме квадратов относительных погрешностей величин, входящих в формулу:

$$\varepsilon = \sqrt{\varepsilon_1^2 + \varepsilon_2^2}.$$



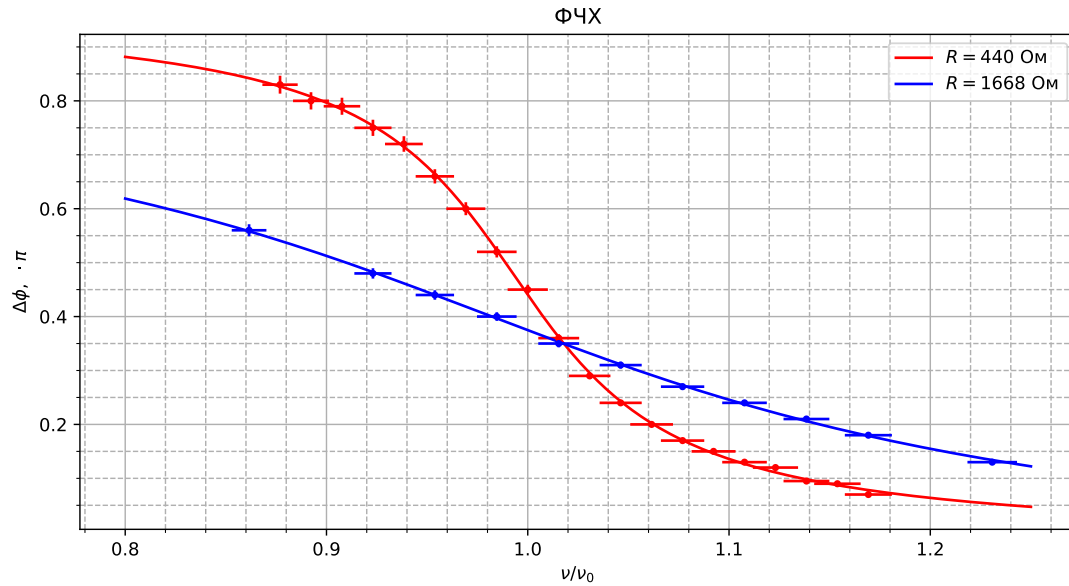


Рис. 7: Фазо-частная характеристика системы при  $R = 440 \text{ Ом}$  – красная кривая, при  $R = 1668 \text{ Ом}$  – синяя кривая

Для обработки случайных погрешностей при повторных измерениях использовалась следующая модель:

$$\sigma = \frac{1}{\sqrt{n}} \cdot \sqrt{\sum_i (x_i - x_{\text{ср}})^2}.$$

## 6 Вывод

1. В ходе сравнения зависимости с теоретической была обнаружена некоторая небольшая ёмкость колебательной системы (исключая магазин ёмкостей), которая смещает зависимость  $T(C)$  на некоторую константу, однако, достаточно мала, чтобы изменить характер зависимости (изменений установить не удалось).
2. Удалось снять зависимость логарифмического декремента затухания от активного сопротивления цепи (погрешность составила порядка 5%), основной причиной такой погрешности послужили наводки, которые «размазывали сигнал», особенно на пиках амплитуд, делая невозможным поддерживать точность на уровне точности приборов.
3. Определили критическое сопротивление, при котором характер колебаний меняется на аperiодический, тремя способами: теоретическим  $R_{\text{кр}} = 8,16 \pm 0,07 \text{ кОм}$ , по наклону графика зависимости логарифмического декремента затухания от сопротивления цепи  $R_{\text{кр}} = 6,2 \pm 0,4 \text{ кОм}$ , с помощью наблюдением за картиной колебаний  $R_{\text{кр}} = 3 \text{ кОм}$ . Как видим, значения довольно сильно отличаются, это связано с неточностью  $R_{\text{кр}}$  по своей природе.
4. Были сняты АЧХ и ФЧХ для вынужденных колебаний в цепи, проведена аппроксимация соответствующих теоретических зависимостей к экспериментальным точкам, функции из теории хорошо ложатся на точки, однако при этих измерениях возникли ещё большие наводки, сделали случайную погрешность кратно больше системной

( $\sigma_{\text{случ}} \sim 7\sigma_{\text{сист}}$ ), однако из-за аппроксимации они не имеют большого вклада в итоговые результаты.

5. Удалось определить логарифмические декременты затухания по установлению и затуханию вынужденных колебаний, получены значения декремента для двух значений сопротивления магазина:

при  $R = 140 \text{ Ом}$   $\Theta_{\text{затух}} = 0.19 \pm 0.015$ ;  $\Theta_{\text{устан}} = 0.179 \pm 0.01$ ,

при  $R = 280 \text{ Ом}$   $\Theta_{\text{затух}} = 0.293 \pm 0.013$ ;  $\Theta_{\text{устан}} = 0.29 \pm 0.03$ .

Как видим, значения хорошо совпадают в пределах погрешностей.

6. Удалось понять, что такая картина биений получается из-за комбинации установления вынужденных колебаний, и только после этого классических биений. Однако на установке посылались цуги довольно большой длины, так что последняя часть данной картины была уже простыми затухающими колебаниями.
7. Результаты измерения добротности вышеизложенными способами изложены в таблице:

$R, \text{ Ом}$	$f(L, C, R)$	$f(\theta)$	Фаз. спираль	АЧХ	ФЧХ
443	$9.20 \pm 0.10$ (1%)	$8.25 \pm 0.65$ (8%)	$8.20 \pm 0.86$ (10%)	$8.33 \pm 0.69$ (8%)	$8.70 \pm 0.76$ (9%)
1668	$2.40 \pm 0.01$ (0.3%)	$2.46 \pm 0.06$ (2%)	$2.35 \pm 0.18$ (8%)	$2.33 \pm 0.16$ (7%)	$2.41 \pm 0.17$ (7%)

Как видим, почти все добротности хорошо совпали (максимальное различие  $1\sigma$ ), однако добротность ФЧХ сильно выбивается из результатов, вероятно, где-то потерян коэффициент, так же, как и ожидалось, теоретическая добротность выше практической, что связано с лишними сопротивлениями в реальной цепи.